

Рис.Ч.

Список літератури: 1. Бартиш М.Я., Щербина Ю.Н. Итерационные формулы, получаемые с помощью рекурсии. - В кн.: Мат. сб. К., 1976. 2. Бурак Я.И., Огірко И.В. Оптимальный нагрев цилиндрической оболочки с зависящими от температуры характеристиками материала. - Мат. методы и физ.-мех. поля, 1977, вып. 5. 3. Огірко И.В. Исследование оболочек с учетом изменения свойств материала от температуры. Стройт. техника и расчет сооружений, 1977, вып. 9. 4. Шаманский В.Е. Методы численного решения краевых задач на ЭВМ. - К.: Наукова думка, 1966, ч.2.

Стаття надійшла в редколегію 06.12.80

УДК 539.3:518

І.В.Огірко, Л.Л.Роман

ІТЕРАЦІЙНИЙ РОЗВ'ЯЗОК НЕЛІНІЙНОЇ ЗАДАЧІ ПРО МІНІМАЛЬНИЙ ПРОТИН ПОЛОГОЇ ОБОЛОНКИ

Розглянемо гнутику коротко защемлену пологу оболонку, прямокутну в плані $1/2a \times 2b/1$, віднесену до криволінійних координат x, y , які відлічують по лініях головних кривин. На оболонку (рис. I) в області $\Omega_1 \{ |x| \leq a, |y| \leq b \}$ діє температурне поле $t(x, y)$, а по краю області $\Omega_2 \{ a \leq |x| \leq a, b \leq |y| \leq b \}$ силове навантаження інтенсивності $q(x, y)$. Причому силове на-

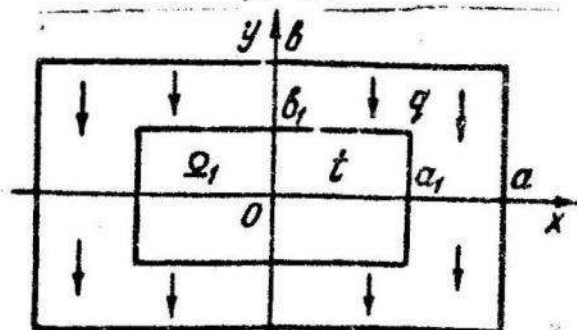


Рис.І.

вантаження задане, а рівень температури можна міняти в межах

$$0 \leq t(x, y) \leq t_3 \quad /1/$$

при заданих умовах в центрі та на краю

$$t(0,0) = t_3, \quad t(x, \pm b_1) = 0, \quad t(\pm a_1, y) = 0, \quad /2/$$

а також умовах гладкості

$$t_x(0,0) = 0, \quad t_y(0,0) = 0, \quad t_x(x \pm b_1) = 0, \quad t_y(\pm a_1, y) = 0, \quad /3/$$

/нижні індекси x, y - означають диференціювання; t_3 - задана температура/.

Необхідно так розподілити функцію температури $t(x, y)$ в рамках /1/-/3/, щоб прогин W оболонки був мінімальний при обмеженні на рівень максимального напруження $\sigma_x, \sigma_y, \sigma_{xy}$

$$\max_{|x| \leq a, |y| \leq b} \{ \sigma_x^{\pm}, \sigma_y^{\pm}, \sigma_{xy}^{\pm} \} \leq K[\sigma] \quad /4/$$

як на верхній знак $+/$, так і на нижній $-/-$ поверхні оболонки $[\sigma]$ - допустиме напруження для даного матеріалу; K - коефіцієнт/.

За критерій оптимальності приймемо функцію

$$\min \left\{ \max_{|x| \leq a, |y| \leq b} |W(x, y)| \right\}. \quad /5/$$

Нелінійними обмеженнями - рівностями у задачі виступають рівняння термопружності гнучкої оболонки [1], які відносно переміщень W, U, V мають вигляд:

$$\begin{aligned} & \frac{h}{12} \nabla^4 W - 2\mu_1 \alpha \delta \nabla W + U_x (\mathcal{K}_1 + \nabla_3 W) + 2\mu_1 U_y W_{yy} + 2\mu_1 V_x W_{xy} + \\ & + V_y (\mathcal{K}_2 + \nabla_3 W) + [-\mathcal{K}_1 W + 0.5 (W_x^2 + V W_y^2)] (\mathcal{K}_1 + W_{xx}) + [-\mathcal{K}_2 W + \\ & + 0.5 (W_y^2 + V W_x^2)] (\mathcal{K}_2 + W_{yy}) + 2\mu_1 W_x W_y W_{xy} = \alpha t (\mathcal{K}_1 + \mathcal{K}_2), \end{aligned}$$

/6/

$$\nabla_3 U + \mu_1 V_{xy} - \mathcal{K}_1 W_x + \mu_1 W_{xy} W_y + W_x \nabla_3 W = 0,$$

$$\nabla_2 V + \mu_2 U_{xy} - K_2 W_y + \mu_2 W_x W_{xy} + W_y \nabla_2 W = 0, \quad /8/$$

де $\nabla^4 = \frac{\partial^4}{\partial x^4} + 2 \frac{\partial^4}{\partial x^2 \partial y^2} + \frac{\partial^4}{\partial y^4}; \quad \nabla^2 = \frac{\partial^2}{\partial x^2} + \frac{\partial^2}{\partial y^2};$

$$\nabla_1 = \frac{\partial^2}{\partial x^2} + \mu_1 \frac{\partial^2}{\partial y^2}; \quad \nabla_2 = \mu_2 \frac{\partial^2}{\partial x^2} + \frac{\partial^2}{\partial y^2}; \quad \nabla_3 = \frac{\partial^2}{\partial x^2} + \nu \frac{\partial^2}{\partial y^2};$$

$$\nabla_4 = \nu \frac{\partial^2}{\partial x^2} + \frac{\partial^2}{\partial y^2}; \quad K_1 = K_1 + \nu K_2, \quad K_2 = \nu K_1 + K_2, \quad \mu_1 = 0.5(1-\nu), \quad \mu_2 = 0.5(1+\nu);$$

h - товщина оболонки; K_1, K_2 - кривини оболонки по осіах x, y ;
 E - модуль пружності; α - коефіцієнт температурного лінійного розширення; ν - коефіцієнт Пуассона.

Границні умови

$$W=0, U=0, V=0, \quad \text{при } x=\pm a, y=\pm b, \quad /9/$$

$$W_y \Big|_{y=\pm b} = 0, \quad W_x \Big|_{x=\pm a} = 0.$$

Розв'язок екстремальної задачі /5/ при обмеженнях /1/-/4/, /6/-/9/ здійснюється згідно з методикою [2] чисельно на ЕОМ в три етапи:

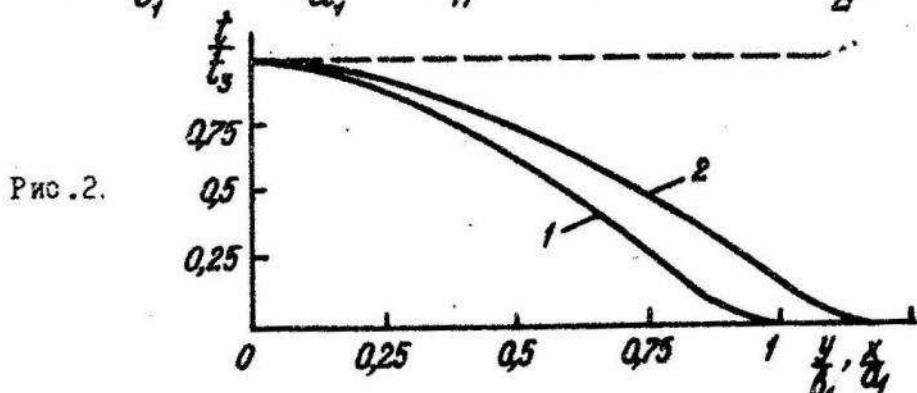
a/ будують дискретний аналог задачі /1/-/9/ методом сіток з підвищеною точністю, при цьому на поверхні оболонки вводять вузли (i, j) , де $i = 0, n$; $j = 0, m$;

b/ формують підпрограму для знаходження значень функцій W , U , V у вузлах (i, j) з краєвої задачі /6/-/9/ ітераційним методом верхньої релаксації;

v/ оптимальні значення розподілу температури t_{ij} в області Ω , шукають ітераційно з кроком δ_y методом локальних варіацій.

Для оцінки точності розв'язку здійснювали перевірку задачі на ЕОМ при різних сітках розбиття області Ω оболонки.

Як приклад показані результати для сталевої /матеріал I X 18 H 9 T/ пологої сферичної $K_1 = K_2 = 1/R$ оболонки з параметрами $\frac{a}{b} = 1,2; \frac{a_1}{b_1} = 1,2; \frac{a}{a_1} = 2; \frac{R}{h} = 100; K = 0,5; \frac{q}{G} = 10$.



На рис. 2 показані графіки розподілу температури у перетинах $\chi = 0$ /лінія 1/ і $Y = 0$ /лінія 2/ оболонки.

Список літератури: 1. Безухов Н.П., Бажанов В.Л., Гольденблат И.И. и др. Расчет на прочность, устойчивость и колебание в условиях высоких температур. М.: Машиностроение, 1968. 2. Огирко И.В. Оптимизация термоапрессий и деформаций в гибких оболочках с учетом температурной зависимости характеристик материала на основе применения итерационных методов: Автореф. дис. ... канд. физ.-мат. наук. - Львов, 1978.

Стаття надійшла в редколегію 04.08.81

УДК 624.07:534.1

Б.І.Гайвась, В.М.Фарат

ДОСЛІДЖЕННЯ КОЛІВАНЬ І СТІЙКОСТІ КОНІЧНОГО СТЕРЖНЯ

ЗІ ЗОСЕРЕДЖЕНИМИ МАСАМИ, ЩО ЗНАХОДЯТЬСЯ

НА УЗАГАЛЬНЕНІЙ ВІНКЛЕРОВІЙ ОСНОВІ

У праці [1] вказано спосіб побудови характеристичного ряду крайової задачі, що описує поперечні коливання стиснутих пружних стержнів змінної жорсткості з зосередженими масами та сингулярностями у пружній основі.

Застосуємо цей спосіб до дослідження коливань і стійкості конічного конічного стержня з зосередженими масами на сингулярній